- Misure, valori medi, probabilità, proiettore, evoluzione temporale, rappresenta-ZIONE DEGLI IMPULSI E PRINCIPIO DI INDETERMINAZIONE
 - Valore medio.

$$\langle \hat{A} \rangle_{\psi} = \langle \psi | \hat{A} | \psi \rangle$$
 (1.1)

$$\langle \hat{A} \rangle_{\psi} = \text{Tr} \, \rho_{\psi} \hat{A} \tag{1.2}$$

• Normalizzazione. Per base discreta $\{|n\rangle\}$ e per base continua $\{|x\rangle\}$, rispettivamente:

$$\langle \psi | \psi \rangle = \sum_{n=1}^{+\infty} |c_n|^2 = 1$$

$$\langle \psi | \psi \rangle = \int_{\mathbb{R}} |\psi(x)|^2 dx = 1$$
(1.3)

• Matrice densità. Per stato generico:

$$\operatorname{Tr} \rho = 1$$
 $\rho^{\dagger} = \rho$ $\operatorname{Tr} \rho^{2} \leqslant 1$ (1.4)

per stati puri: Tr $\rho^2 = 1$.

Se ρ relativa a spazio composto da due sottospazi, la sua ridotta al primo è:

$$\rho^{(1)} = \text{Tr}_2 \, \rho = \sum_m \left<\alpha_n b_m |\rho| \alpha_j b_m \right> \tag{1.5} \label{eq:problem}$$

La sua evoluzione temporale è:

$$\rho(t) = e^{-\frac{i}{\hbar} \hat{H} t} \rho(0) e^{\frac{i}{\hbar} \hat{H} t} \tag{1.6}$$

• Flusso di probabilità.

$$J = -\frac{i\hbar}{2m} (\psi^* \nabla \psi - \psi \nabla \psi^*)$$
 (1.7)

L'equazione di continuità è:

$$\partial_t |\psi|^2 + \nabla \cdot \mathbf{J} = 0 \tag{1.8}$$

• Probabilità di misura. Dato osservabile \hat{A} , e $\psi = \sum_i c_i |\alpha_i\rangle$ espresso in base fornita da \hat{A} , la probabilità di ottenere la misura α_i su $|\psi\rangle$ è $|c_i|^2$.

Se fornisce base continua, allora:

$$P(\alpha)d\alpha = |\langle \alpha | \psi \rangle|^2 d\alpha \qquad (1.9)$$

La probabilità di trovare una particella in $|\psi
angle$ ad una distanza maggiore di x_0 , per esempio, è:

$$P(x \geqslant x_0) = \int_{x_0}^{+\infty} |\psi(x)|^2 dx$$

• Impulso, posizione e distanza media. Sia $|\psi\rangle$ uno stato; allora:

$$\langle \hat{x} \rangle_{\psi} = \langle \psi | \hat{x} | \psi \rangle = \int_{-\infty}^{+\infty} x |\psi(x)|^2 dx$$

$$\langle \hat{p} \rangle_{\psi} = \langle \psi | \hat{p} | \psi \rangle = \int_{-\infty}^{+\infty} \psi^*(x) \big[- i \hbar \vartheta_x \psi(x) \big] dx$$

$$\langle \hat{\mathbf{r}} \rangle_{\psi} = \int_{\mathbb{R}^3} \sqrt{x^2 + y^2 + z^2} \left| \psi(\mathbf{x}) \right|^2 d^3 \mathbf{x}$$

$$\langle \hat{\mathbf{r}}^2 \rangle_{\Psi} = \int_{\mathbb{R}^3} \left[\mathbf{x}^2 + \mathbf{y}^2 + \mathbf{z}^2 \right] \left| \Psi(\mathbf{x}) \right|^2 d^3 \mathbf{x}$$

dove gli ultimi due sono distanza media dal centro e raggio quadratico medio in 3D.

OSSERVAZIONE 1.1. Il valore medio di spin è analogo, ma calcolato solo su stati di spin; la parte orbitale sparisce per normalizzazione.

• Evoluzione temporale.

$$i\hbar \partial_t \psi(\mathbf{x}, t) = \hat{H}\psi(\mathbf{x}, t)$$
 (1.10)

Trasformate di Fourier.

$$\widetilde{\psi}(p) = \frac{1}{\sqrt{2\pi\hbar}} \int_{-\infty}^{+\infty} \psi(x) e^{-\frac{i}{\hbar}px} dx \qquad (1.11)$$

$$\psi(x) = \frac{1}{\sqrt{2\pi\hbar}} \int_{-\infty}^{+\infty} \widetilde{\psi}(p) e^{\frac{i}{\hbar}px} dp \qquad (1.12)$$

• Principio di indeterminazione. Per operatori \hat{A}, \hat{B} tali che $[\hat{A}, \hat{B}] = i\hat{C}$, su uno stato $|\psi\rangle$ si ha:

$$\Delta_{A}\Delta_{B}\geqslant \frac{|\langle \hat{C}\rangle_{\psi}|}{2}=\frac{|\langle \psi|[\hat{A},\hat{B}]|\psi\rangle|}{2}$$
 (1.13)

dove per generico operatore Ô:

$$\Delta_{\rm O} = \sqrt{\langle \hat{\rm O}^2 \rangle - \langle \hat{\rm O} \rangle^2} \tag{1.14}$$

Commutatori e rappresentazione di operatori

• Rappresentazione di coordinate in impulsi e viceversa.

$$\hat{X}\widetilde{\psi}(p) = i\hbar\partial_p\widetilde{\psi}(p)$$
 (2.1)

$$\hat{P}\psi(x) = -i\hbar\partial_x\psi(x) \tag{2.2}$$

(2.2)

$$[\hat{X}, \hat{P}] = i\hbar \mathbb{1} \tag{2.3}$$

• Commutatori con momento angolare.

$$\begin{split} [\hat{J}_{a},\hat{J}_{b}] = i\hbar\epsilon_{abc}\hat{J}_{c} \quad [\hat{X}_{a},\hat{J}_{b}] = i\hbar\epsilon_{abc}\hat{X}_{c} \\ [\hat{P}_{a},\hat{J}_{b}] = i\hbar\epsilon_{abc}\hat{P}_{c} \end{split}$$

• Momento angolare in coordinate. Si usa il fatto che $\hat{\mathbf{L}} = \hat{\mathbf{x}} \times \hat{\mathbf{p}}$:

$$\hat{\mathbf{L}}\psi(\mathbf{x}) = [-i\hbar\mathbf{x} \times \nabla] \,\psi(\mathbf{x}) \tag{2.4}$$

3 POTENZIALE CENTRALE E CAMBIAMENTI DI VARIABILE

• Coordinate CM e relativa.

$$\hat{\mathbf{X}} = \frac{m_1 \hat{\mathbf{r}}_1 + m_2 \hat{\mathbf{r}}_2}{m_1 + m_2} \qquad \hat{\mathbf{x}} = \hat{\mathbf{r}}_1 - \hat{\mathbf{r}}_2$$

$$\hat{\mathbf{P}} = \hat{\mathbf{p}}_1 + \hat{\mathbf{p}}_2 \qquad \hat{\mathbf{p}} = \frac{m_1 \hat{\mathbf{p}}_1 - m_2 \hat{\mathbf{p}}_2}{m_1 + m_2}$$
(3.1)

Soddisfano $[\hat{X}_i, \hat{P}_j] = i\hbar \delta_{ij}, [\hat{x}_i, \hat{p}_j] = i\hbar \delta_{ij}$ e gli altri commutatori sono nulli.

Tornano utili la massa totale $M = m_1 + m_2$ e la massa ridotta $\mu = m_1 m_2/(m_1 + m_2)$.

• Alcuni cambiamenti di variabile.

$$\begin{split} \hat{H} &= \frac{\hat{\mathbf{p}}_1^2}{2m_1} + \frac{\hat{\mathbf{p}}_2^2}{2m_2} + U\big(|\hat{\mathbf{r}}_1 - \hat{\mathbf{r}}_2|\big) \\ &\rightarrow \hat{H} = \frac{\hat{\mathbf{p}}^2}{2M} + \frac{\hat{\mathbf{p}}^2}{2\mu} + U\big(\hat{\mathbf{x}}\big) \end{split}$$

$$\begin{split} \hat{H} &= \frac{\hat{\mathbf{p}}_1^2 + \hat{\mathbf{p}}_2^2}{2m} + \frac{1}{2}m\omega^2(\hat{\mathbf{r}}_1^2 + \hat{\mathbf{r}}_2)^2 + \frac{1}{4}m\kappa^2(\hat{\mathbf{r}}_1 - \hat{\mathbf{r}}_2)^2 \\ &\to \hat{H} = \frac{\hat{\mathbf{P}}^2}{2M} + \frac{1}{2}M\omega^2\hat{\mathbf{R}}^2 + \frac{\hat{\mathbf{p}}^2}{2\mu} + \frac{1}{2}\mu(\omega^2 + \kappa^2)\hat{\mathbf{r}}^2 \end{split}$$

Nell'ultimo, le masse delle due particelle sono uguali, quindi M = 2m e $\mu = m/2$.

4 OSCILLATORE ARMONICO

• Hamiltoniano e grandezze caratteristiche.

$$\hat{H} = \frac{\hat{P}^2}{2m} + \frac{1}{2}m\omega^2 \hat{X}^2$$
 (4.1)

Si definiscono variabili riscalate $\hat{p} = \hat{P}/p_{\omega}$ e $\hat{x} = \hat{X}/\ell_{\omega}$, dove $\ell_{\omega} = \sqrt{\hbar/m\omega}$ e $p_{\omega} = m\omega\ell_{\omega}$. Con queste:

$$\hat{H} = \frac{\hbar\omega}{2} \left[\hat{p}^2 + \hat{x}^2 \right] \tag{4.2}$$

• Operatori di distruzione e creazione. Tramite grandezze riscalate, sono definiti, rispettivamente, da:

$$\hat{a} = \frac{\hat{x} + i\hat{p}}{\sqrt{2}}$$
 $\hat{a}^{\dagger} = \frac{\hat{x} - i\hat{p}}{\sqrt{2}}$ (4.3)

Soddisfano $[\hat{a}, \hat{a}^{\dagger}] = 1 e$

$$\hat{H} = \frac{\hbar\omega}{2} \left[\hat{\alpha} \hat{\alpha}^{\dagger} + \hat{\alpha}^{\dagger} \hat{\alpha} \right] \tag{4.4}$$

• Operatore numero. Dato da $\hat{N} = \hat{\alpha}^{\dagger} \hat{\alpha}$ e soddisfa

$$[\hat{N}, \hat{\alpha}] = -\hat{\alpha}$$
 $[\hat{N}, \hat{\alpha}^{\dagger}] = \hat{\alpha}^{\dagger}$ (4.5)

Si ha

$$\hat{H} = \hbar\omega(\hat{N} + 1/2) \tag{4.6}$$

Gli autovalori di \hat{N} permettono di trovare autovalori di \hat{H} e caratterizzano le autoenergie perché $n \geqslant 0, n \in \mathbb{N}$:

$$E_n = \hbar \omega (n + 1/2) \tag{4.7}$$

• Funzioni d'onda dei primi due livelli.

$$\varphi_{0}(\omega, x) = \frac{1}{\pi^{1/4} \sqrt{\ell_{\omega}}} e^{-x^{2}/(2\ell_{\omega}^{2})}
\varphi_{1}(\omega, x) = \frac{\sqrt{2}}{\pi^{1/4} \sqrt{\ell_{\omega}}} \frac{x}{\ell_{\omega}} e^{-x^{2}/(2\ell_{\omega}^{2})}$$
(4.8)

La parità è $(-1)^n$.

 Oscillatore armonico in 2D e 3D. Le funzioni d'onda si ottengono per prodotto lungo le varie dimensioni. Le energie si sommano lungo le varie direzioni:

$$\begin{split} E_N^{(2D)} &= \hbar \omega (n_x + n_y + 1) = \hbar \omega (N+1) \\ E_N^{(3D)} &= \hbar \omega (n_x + n_y + n_z + 3/2) = \hbar \omega (N+3/2) \end{split}$$

I livelli energetici in 2D hanno degenerazione N+1; in 3D hanno degenerazione (N+1)(N+2)/2.

 Oscillatore in coordinate sferiche. Ottenuto perché l'Hamiltoniano commuta con il momento angolare totale.

Le energie si riscrivono per $N = 2n_r + \ell$:

$$E_{n_r,\ell} = \hbar\omega(2n_r + \ell + 3/2)$$
 (4.9)

La funzione d'onda si scrive come $\psi(r,\theta,\phi)=R_{n_r,\ell}(r)Y_{\ell,m}(\theta,\phi)$, con $Y_{\ell,m}(\theta,\phi)$ sono le armoniche sferiche.

La **parità** di ciascun livello è legata alle armoniche sferiche ed è $(-1)^{\ell}$.

• Energia. Si ha

$$E_n = \frac{\hbar^2 k_n^2}{2m} = \frac{\hbar^2 \pi^2 n^2}{2ma^2}, \ k_n = \frac{n\pi}{a}$$
 (5.1)

con n > 0, $n \in \mathbb{N}$.

- 6 Atomo di idrogeno
- 7 SPIN E COMPOSIZIONE DI MOMENTI ANGOLARI
- 8 Teoria delle perturbazioni
- 9 Operatori parità e time-reversal
- 10 SCATTERING
- 11 Regole di selezione

• Funzioni d'onda.

$$\psi_{n}(x) = \begin{cases} \sqrt{\frac{2}{a}} \sin\left(\frac{n\pi}{a}x\right) & \text{, n pari} \\ \sqrt{\frac{2}{a}} \cos\left(\frac{n\pi}{a}x\right) & \text{, n dispari} \end{cases}$$
 (5.2)

per $|x| \le a/2$ e 0 fuori.

$$\int_0^{r_*} re^{-\alpha r^2} dr = \frac{1}{2\alpha} \left(1 - e^{-\alpha r_*^2} \right)$$

$$\int_0^{+\infty} r^n e^{-\alpha r} dr = \frac{n!}{\alpha^{n+1}}$$

$$\int_0^{+\infty} r^2 e^{-\alpha r^2} dr = \frac{\sqrt{\pi}}{4} \alpha^{-3/2}$$

13 SVILUPPI IN SERIE

$$\frac{1}{1-x} = \sum_{n=0}^{\infty} x^n$$

$$e^x = \sum_{n=0}^{\infty} \frac{x^n}{n!}$$

$$\sin x = \sum_{n=0}^{\infty} (-1)^n \frac{x^{2n+1}}{(2n+1)!} = x - \frac{x^3}{3!} + \frac{x^5}{5!} - \dots$$

$$\cos x = \sum_{n=0}^{\infty} (-1)^n \frac{x^{2n}}{(2n)!} = 1 - \frac{x^2}{2!} + \frac{x^4}{4!} - \dots$$

14 Trucchi utili

• Funzione d'onda negli impulsi.

Quando l'Hamiltoniano è speculare in impulso e posizione, è possibile ottenere le funzioni d'onda nello spazio degli impulsi definendo dei parametri in modo che l'impulso assuma stessa forma delle posizioni (stando attenti a ridefinire tutti i parametri nella funzione d'onda, di modo che eventuali funzioni degli impulsi risultino adimensionali).

ESEMPIO 14.1.

Per oscillatore armonico 2D con $\hat{H}=\hat{p}^2/2m+m\omega^2\hat{\chi}^2/2$, la funzione d'onda nelle posizioni dello stato fondamentale è $\pi^{-1/2}\gamma^{-1}e^{-(\chi^2+y^2)/2\gamma^2}$, con γ^2 lunghezza caratteristica del sistema; nello spazio degli impulsi, questa diventa $\pi^{-1/2}\gamma'^{-1}e^{-(p_\chi^2+p_y^2)/2\gamma'^2}$, dove γ' è l'impulso caratteristico del sistema, dato da \hbar/γ .

• Soluzione esatta a Hamiltoniano con perturbazione.

Quando viene chiesto un calcolo esatto, invece che approssimazione perturbativa, probabilmente c'è la possibilità di riarrangiare l'Hamiltoniano e di

$$\begin{split} \int_0^{+\infty} r e^{-\alpha r} \sin(\beta r) \; dr &= \frac{2\alpha\beta}{(\alpha^2 + \beta^2)^2}, \; \Re\{\alpha\} > 0 \\ \int_0^{+\infty} \sin(q r) e^{-r/R} \; dr &= \frac{q R^2}{1 + q^2 R^2} \\ \int_{-\infty}^{+\infty} e^{-\alpha y^2 + by} dy &= \sqrt{\frac{\pi}{\alpha}} e^{b^2/4\alpha} \\ \int_0^{\pi} \sin\theta \cos^2\theta \; d\theta &= \frac{2}{3} \end{split}$$

$$\sinh x = \sum_{n=0}^{\infty} \frac{x^{2n+1}}{(2n+1)!} = x + \frac{x^3}{3!} + \frac{x^5}{5!} + \cdots$$

$$\cosh x = \sum_{n=0}^{\infty} \frac{x^{2n}}{(2n)!} = 1 + \frac{x^2}{2!} + \frac{x^4}{4!} + \cdots$$

$$\ln(1+x) = \sum_{n=1}^{\infty} (-1)^{n-1} \frac{x^n}{n} = x - \frac{x^2}{2} + \frac{x^3}{3} - \cdots$$

$$\arctan x = \sum_{n=0}^{\infty} (-1)^n \frac{x^{2n+1}}{2n+1} = x - \frac{x^3}{3} + \frac{x^5}{5} - \cdots$$

$$(1+x)^{\alpha} = 1 + \alpha x + \frac{\alpha(\alpha-1)}{2!} x^2 + \frac{\alpha(\alpha-1)(\alpha-2)}{3!} x^3 + \cdots$$

ricondurlo ad uno di una forma analoga a quello imperturbato.

• Operatore prodotto scalare tra due spin.

Nello studio di un Hamiltoniano di spin $\hat{H}_s = \kappa \hat{s}_1 \cdot \hat{s}_2$, torna utile la relazione

$$\hat{\mathbf{S}}_1 \cdot \hat{\mathbf{S}}_2 = \frac{\hat{S}^2 - \hat{S}_1^2 - \hat{S}_2^2}{2} \tag{14.1}$$

 $\text{dove } \hat{\mathbf{S}} = \hat{\mathbf{S}}_1 + \hat{\mathbf{S}}_2.$

• Quantità conservate.

Le quantità di cui verificare la commutazione con l'Hamiltoniano sono: \hat{p} , \hat{L} , \hat{J} , \hat{P} , \hat{T} . In generale, sono sufficienti le prime tre (se non le prime due nel caso in cui non vi sia un termine di spin nell'Hamiltoniano).

• Calcolo elementi di matrice. Ricordare che è possibile utilizzare regole di selezione o espressioni dell'operatore (tipo per la posizione usare operatori di salita e discesa nell'oscillatore armonico), oppure si può passare al calcolo dell'integrale, come nel caso della trattazione perturbativa del potenziale di Coulomb.

- 15 Proprietà del commutatore
- 16 Polinomi di Hermite, Laguerre e Lagrange e armoniche sferiche

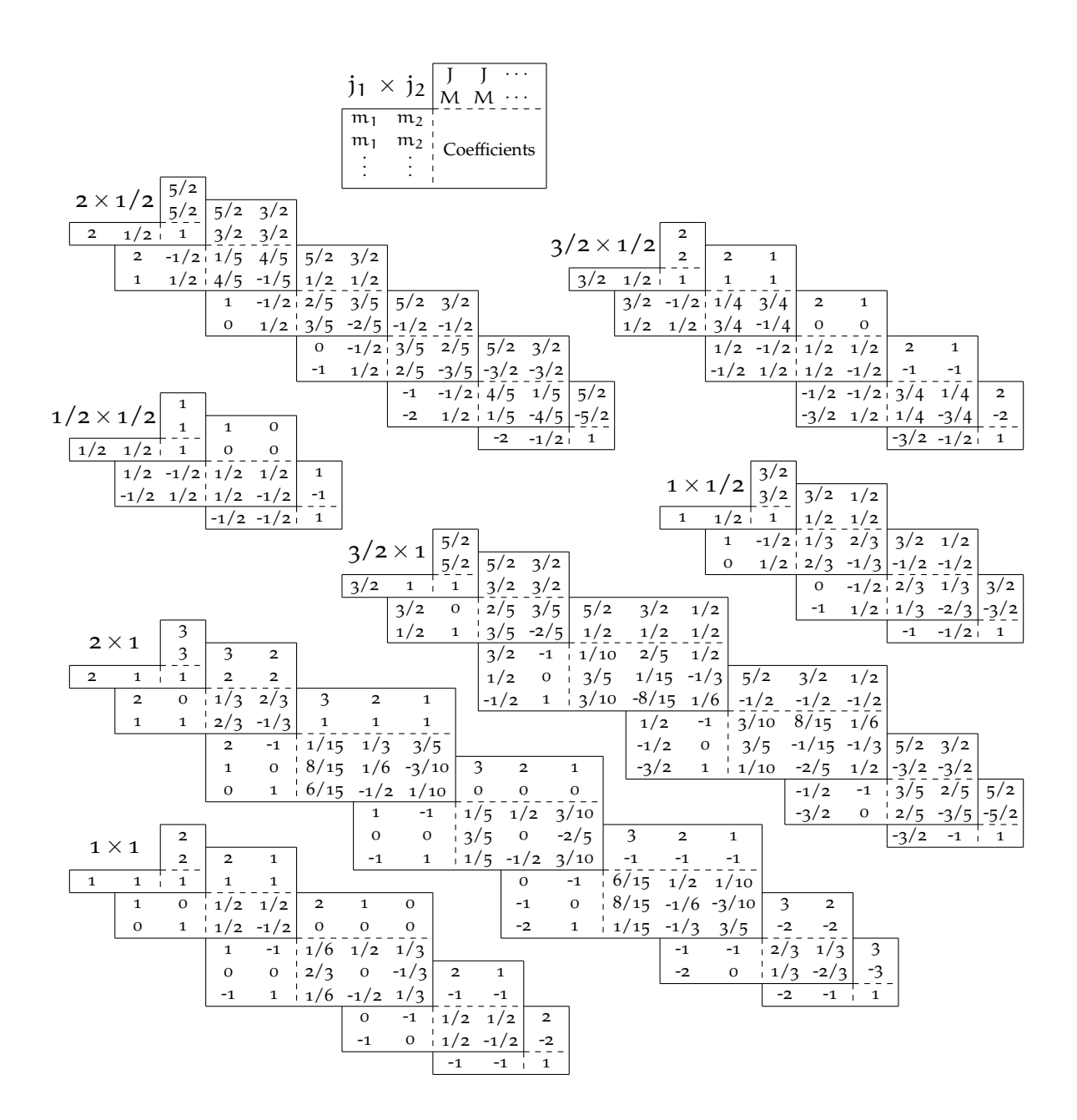


Figura 1: Clebsch-Gordan coefficients. A square root is understood on each coefficient, that is, -1/3 means $-\sqrt{1/3}$.